

## 任意物體附近分離流之數值模擬研究

周宗仁\*      盧天麟\*\*

### 摘要

本文以表面渦法為計算方法，模擬二度空間任意形狀物體附近之分離流況，但忽略粘滯性的擴散過程。本法經過勢流、渦發生、渦移動以及渦對流等一連串的數值運算後，將可模擬物體附近之流動情形，然後藉此預測流動之現象與動力之特性。

首先對受定常流影響之任意物體分別計算與分析，所得之抗力係數值( $C_D$ )與其他學者之實驗比較，結果甚為良好。其次將本法擴展運用至受振動流影響之物體附近流況的計算，藉以模擬物體受振動流影響引起之後渦流生成與渦流的逆向沖刷。

進行數值計算時，為了節省計算的時間與空間，特別以對稱流處理，並且以方形柱體、平板、圓柱為例，說明本法可以適用於任意形狀物體。

### 一、前言

本文發展一個二度空間渦移動之非粘性模式，此模式是藉一連續的渦流線(Vortex filament)所組成之渦流片(Vortex Sheet)來模擬任意物體附近的分離流。

關於渦移動之過程，過去的學者已經做過很多的研究<sup>(1)(2)(3)(4)</sup>，而且是以一個分離渦法(Discrete Vortex Method)為之。在這些計算中，大部份與典型邊界之物體有關，如圓柱、平板、楔形物體等，對此特殊的個別問題而言，古典的模擬方法是可應用的，例如保角變換法(Conformal Transformation Method)和鏡像原理(Mirror Image Theorem)。

Lewis (1981)<sup>(5)</sup>利用表面渦法(Surface Vorticity Method)計算二度空間陡峭物體(Bluff body)的分離流，其獨特的貢獻是任意形狀均予考慮，因此在實際應用上，給予一個更良好的處理方法。除此之外，表面渦法更可以簡單而直接的描述不可壓縮流體流動。

但在此值得注意的是，上述的所有計算均係對定常流(Steady flow)而言，關於速度隨時間改變的流動少有注意，因此本文除了計算物體受定常流影響之流況外，並對受不定常流(Unsteady flow)影響之流況加以考慮。

\* 國立臺灣海洋學院河海工程學系教授

\*\* 國立臺灣海洋學院河海工程研究所畢業

## 二、理論解析及數值方法

為了二度空間任意形狀物體附近分離流之計算，我們利用表面渦流法來模擬物體附近的流動情形。本文在數值運算過程中，在每一個時間間隔裡，包括下列幾個步驟：

### (1) 勢流計算

對於任意形狀物體之勢流計算，我們將考慮所有外界的影響，這包含了等速流 (Uniform Stream) 以及在後渦流 (Wake) 中的移動渦流，更進一步，等速流可在每一個時間間隔改變其大小與方向，而不使理論複雜。

假如我們考慮一個二度空間任意物體表面之非粘性流體流動，如圖 1 所示，在 abcd 的範圍內，由於從流動中速度  $V_\infty$  至物體上速度為零之速度不連續，導致一個渦流片  $\gamma(S)$  的存在，藉著考慮 abcd 範圍內的環流 (Circulation)，我們很容易證實下式成立。

$$\gamma(S) = V_\infty \quad (1)$$

因此，我們將假設物體表面係由一連續的渦流片所組成，以近似模擬鄰近物體表面的實際流動情形。目前的問題即在於計算  $\gamma(S)$  的分布，Martensen (1959)<sup>(6)</sup> 已經證實，在等速流 ( $W_\infty$ ,  $\alpha_\infty$ ) 中一個物體表面某一點  $m$  上，如圖 2 所示，Dirichlet 邊界條件的應用，導致一個無特異性的 Fredholm 積分方程式，如下式所示。

$$\oint \gamma(S_m) K(m, n) ds_n - \frac{1}{2} \gamma(S_m) = -W_\infty \left( \frac{dx_m}{ds} \cos \alpha_\infty + \frac{dy_m}{ds} \sin \alpha_\infty \right) \quad (2)$$

其中， $\alpha_\infty$  為等速流  $W_\infty$  與  $x$  軸之夾角。上述方程式簡單的說明了一個事實，亦即在  $m$  點上且平行於物體表面的速度為零。 $K(m, n)$  是一個相關係數，其值為由在  $n$  點上之單位渦流所產生在  $m$  點上平行於物體表面的速度，可表成下式。

$$K(m, n) = \frac{1}{2\pi} \left\{ \frac{-(x_m - x_n) \left( \frac{dy_m}{ds} \right) + (y_m - y_n) \left( \frac{dx_m}{ds} \right)}{(x_m - x_n)^2 + (y_m - y_n)^2} \right\} \quad (3)$$

因此，式(2)等式左邊之環積分表示由物體表面上所有邊界渦流  $\gamma(S_n)$  所產生在  $m$  點上平行於物體表面的速度。左邊第二項  $\frac{1}{2} \gamma(S_m)$  為在  $m$  點上，因渦流片存在之內外速度差，而等式右邊則計算了由等速流  $W_\infty$  在  $m$  點上平行於物體表面的速度分量。

對於流場中散佈著  $Z$  個移動渦流  $\Gamma_N$  時，我們將在式(2)中加上移動渦流的影響，由下式表示之。

$$\oint \gamma(S_m) K(m, n) ds_n - \frac{1}{2} \gamma(S_m) = -W_\infty \left( \frac{dx_m}{ds} \cos \alpha_\infty + \frac{dy_m}{ds} \sin \alpha_\infty \right) - \sum_{N=1}^Z \Gamma_N L(m, n) \quad (4)$$

其中，我們取渦流  $\Gamma_N$  順時針為正。 $L(m, n)$  也是一個相關係數，其與  $K(m, n)$  有相同的型式。

在解式(4)時，如果不經數值計算，則無法求得其解。若將式(4)沿物體表面邊界線分割成  $M$  個分離元素  $\Delta S_n$ ，在各元素令其  $\gamma(S_n)$  值為一定，並以各元素之中央節點之值做為代表值，如圖 3 所示，則可將式(4)分離成下列之方程式。

$$\sum_{n=1}^M \gamma(S_n) K(m, n) \Delta S_n - \frac{1}{2} \gamma(S_m) = -W_\infty \left( \frac{dx_m}{ds} \cos \alpha_\infty + \frac{dy_m}{ds} \sin \alpha_\infty \right) - \sum_{N=1}^Z \Gamma_N L(m, N) \quad (5)$$

上式之  $m$  係對全部邊界成立，故可得  $M$  個方程式，若將等速流 ( $W_\infty, \alpha_\infty$ )，移動漩渦分布  $\Gamma_1, \Gamma_2, \dots, \Gamma_N$  以及分割元素等各項條件代入，解此  $M$  個線性方程式，便可求得所有點上之  $\gamma(S)$  之解。又由式(1)知  $V_s = \gamma(S)$ ，則物體表面之速度分布亦可求得。

### (2) 漩渦移動

在每一個時間間隔中，均有新的漩渦元素經由分離點移動進入流場。在未說明漩渦移動的過程之前，我們將先討論在物體表面上漩渦的發生。假如我們定義  $d\gamma$  表  $dt$  時間中在  $S$  點上生成之單位長度的淨漩渦量，則漩渦進入或離開控制體積  $abcd$  (圖 1) 將有下列之關係存在。

$$d\gamma ds = \left\{ \frac{1}{2} (V_s + dV_s) (\gamma(S) + d\gamma(S)) - \frac{1}{2} V_s \gamma(S) \right\} dt \quad (6)$$

由式(1)加上柏努力方程式之應用，化簡之後，導致一個在任意處  $S$  上之漩渦生成方程式，如下式所示。

$$\frac{d\gamma}{dt} = \frac{d}{ds} \left( \frac{V_s^2}{2} \right) = -\frac{1}{\rho} \frac{dp}{ds} \quad (7)$$

因此我們知道，假如壓力下降 ( $\frac{dp}{ds} < 0$ )，表面漩渦自然的發生，相反的，壓力上升 ( $\frac{dp}{ds} > 0$ )，表面漩渦自然的破壞。

此刻我們再考慮一個具有銳緣的陡峭物體分離的情形，如圖 4 所示。由勢流計算，我們已得到銳緣前的漩渦元素是  $\gamma(sp)$ ，而其對流速度是  $\frac{V_{sp}}{2}$ 。因此在每個時間間隔  $\Delta t_n$  中，新的漩渦元素移動進入流場中，成為移動漩渦。其強度是

$$\Delta \Gamma_n = \gamma(sp) \cdot \frac{V_{sp}}{2} \cdot \Delta t_n = \frac{1}{2} V_{sp}^2 \Delta t_n \quad (8)$$

而且此漩渦一經移動，在所有時間中保持其強度。另外新漩渦元素將隨分離點處物體表面切線方向移動，其長度是

$$\Delta S_n = \frac{1}{2} V_{sp} \Delta t_n \quad (9)$$

而其中心位置如下式所示。

$$x = x_{sp} + \frac{\Delta S_n}{2} \cos \beta \quad (10)$$

$$y = y_{sp} + \frac{\Delta S_n}{2} \sin \beta$$

此處  $\beta$  是分離點處物體表面之切線與  $x$  軸之夾角，如圖 4 所示。

### (3) 漩渦對流

由於一個在  $n$  點上單位漩渦所產生在  $m$  點上之水平速度分量  $u$  與垂直速度分量  $v$ ，如圖 5 所示，可以以下式表示之。

$$u = U(m, n) = \frac{1}{2\pi} \left\{ \frac{(y_m - y_n)}{(x_m - x_n)^2 + (y_m - y_n)^2} \right\} \quad (11)$$

$$v = V(m, n) = \frac{1}{2\pi} \left\{ \frac{-(x_m - x_n)}{(x_m - x_n)^2 + (y_m - y_n)^2} \right\}$$

因此，由圖 2 所示，後湍流中之移動旋渦  $\Gamma_N$  之對流速度分量，將由除自身外，流場中所有的影響計算而得到，如下式所示。

$$u_{CN} = \sum_{n=1}^M \gamma(S_n) \Delta S_n U(N, n) + \sum_{\substack{n=1 \\ n \neq N}}^Z \Delta P_n U(N, n) + U_\infty \quad (12)$$

$$v_{CN} = \sum_{n=1}^M \gamma(S_n) \Delta S_n V(N, n) + \sum_{\substack{n=1 \\ n \neq N}}^Z \Delta P_n V(N, n) + V_\infty$$

並且在每個時間間隔中，旋渦之位置改變，其新的位置將由下式計算而得到。

$$x_{new} = x_{old} + u_{CN} \Delta t_n \quad (13)$$

$$y_{new} = y_{old} + v_{CN} \Delta t_n$$

式(12)與式(13)將可計算任何一個時間間隔裡，流場中任何點所組成的煙線 (Streak line)。

除此之外，旋渦之擴散也將發生，但在本文中，我們忽略了粘滯性 (Viscosity) 的擴散過程。圖 6 說明一個簡單的數值運算過程，依此，在一個時間間隔內，可獲得一個半穩定 (Quasi-Steady) 的解，因此對與時間相關的流動 (Time-dependent flow) 而言，其解將很容易的得到。

由上述之方法得知，旋渦元素將形成一連續的渦流片，而且此渦流片分開了外部流 (Outer flow) 與後湍流；後湍流中的渦流片也將逐漸的捲起，形成一連續的壓力梯度進入旋渦的核心。對於流動之計算目的而言，我們將只注意物體表面上之壓力分布。如圖 4 所示，恰在分離點之後的表面壓力  $P_{o2}$  與分離點之前的表面壓力  $P_{o1}$ ，因越過分離點為渦流片隔開，所以有下列之關係存在。

$$P_{o2} = P_{o1} - \rho \frac{V_{sp}^2}{2} \quad (14)$$

因此在物體表面上之壓力分布可以由無因次化之壓力係數 ( $C_D$ ) 簡單的表示之。則

$$C_D = \frac{P - P_\infty}{\frac{1}{2} \rho W_\infty^2} = 1 - \left( \frac{V_s}{W_\infty} \right)^2 \quad (\text{分離點之上流區}) \quad (15)$$

$$C_D = \frac{P - P_\infty}{\frac{1}{2} \rho W_\infty^2} = 1 - \left( \frac{V_s}{W_\infty} \right)^2 - \left( \frac{V_{sp}}{W_\infty} \right) \quad (\text{分離點之下流區})$$

最後，形狀阻抗 (Form drag) 係數與升力 (Lift force) 係數將由沿物體表面之壓力積分而得到，如下式所示。

$$C_D = \frac{1}{\frac{1}{2} \rho W_\infty^2 A} \int p \cos \theta dS$$

$$C_L = \frac{1}{\frac{1}{2} \rho W_\infty^2 A} \int p \sin \theta dS \quad (16)$$

其中  $A$  表特性面積，又  $C_L$  因本文中對稱流之考慮，故其值為零。

### 三、數值計算例及結果

#### (1) 柱體受等速流影響引起之分離法

本文以方形柱體、三角形柱體、平板以及圓柱為計算例，以證實表面渦流法之應用，其計算點之取法如圖 7 所示。數值計算時，為了得到較良好的結果以及節省可用的計算時間，在微小時間間隔上，做了一些選擇。本文以無因次化之時間間隔  $\Delta t' = U \Delta t / R$  為參數，在改變  $\Delta t'$  的情形下對各問題加以計算，結果將在下面加以說明。

##### a 方形柱體

圖 8 表示等速流經過方形柱體之分離情形，由圖中顯示，渦流片在初期保持連續而且平滑，並且在較遠的下流處，渦流片開始捲起，此乃我們所希望得到的真實渦流片的情形。當計算繼續進行時，渦流充滿整個下流區域，形成一個穩定的後渦流情形。圖 9 表示其表面壓力分布情形，其中  $S$  為離前端之停滯點表面長度的距離。圖 10 表示  $C_D$  隨時間變化之情形，計算開始時快速的由零增加到 2.3 左右，然後緩慢下降至 1.5 的穩定值。

##### b 三角形柱體

圖 11 表示等速流經過三角形柱體之分離情形，對此問題而言，其與方形柱體有相似的情況。圖 12 表示  $C_D$  之連續變化情形，最大到達 2.0，穩定時趨於 1.1，小於方形柱體之  $C_D$ 。

##### c 平板

圖 13 表示等速流經過平板之分離情形。圖 14 表示  $C_D$  之連續變化情形，並且特別與 Sarpkaya (1966)<sup>(7)</sup> 之實驗比較，以了解其趨勢。其值最大到達 2.5 左右，然後隨時間之增加而下降到穩定階段。

##### d 圓柱

對於平滑表面的陡峭物體，由於分離點之位置實際上是不固定的，因此在數值上產生了一些特殊的問題，尤其是分離點的位置和移動渦離開分離點的角度。此處我們係假定分離點位置在圓柱的縱軸直徑上，而移動渦離開的角度是  $45^\circ$ ，來加以計算。

圖 15 表示等速流經過圓柱較完全的分離流況預測。圖 16 表示表面壓力分布情形，因為渦流之生成，柱後壓力不再上升而產生形狀阻抗。圖 17 表示  $C_D$  之連續變化情形，最大到達 1.6，然後緩慢下降趨於 1.2 左右的穩定值。

#### (2) 柱體受振動流影響引起之分離流

過去的學者，對於陡峭物體受振動流影響之問題，已經做過許多研究，相當的結果也可由實驗中得知。本文則利用數值方法模擬振動流經過柱體所產生之後湍流及其影響。

振動流與均一方向流( Unidirectional flow )和波浪流( Wavy flow )基本上有某些不同。當柱體受振動流支配時，流動不僅由零速度加速到最大，然後再減速到零速度，而且其方向也將在每一個週期中變化。這速度方向的改變，使得在下流區域已形成之後湍流將逆向沖刷到上流區域的柱體側面。相對的，波浪流顯得更加複雜，除了自由表面( Free surface )及繞射( Diffraction )效應外，水粒子之垂直速度運動也將產生三度空間的問題。對最初的目的而言，我們不考慮這些效應，而將重點放在振動流上面。

進行數值計算時，本文係將前面的方法加以擴展，而假定等速流(  $W_{\infty}, \alpha_{\infty}$  )在每一個時間間隔中，其大小隨正弦函數而改變。如此， $W_{\infty} = U_m \sin \theta, \theta = \frac{2\pi t}{T}$ 。對圓柱而言，計算之條件及結果列表於表 1，其中(  $K, C$  )<sub>m</sub> 及 R.e.m 由下式計算得之。

$$(K, C)_m = \frac{U_m T}{D} \quad (17)$$

$$R.e.m. = \frac{U_m D}{\nu}$$

此處  $\nu$  是水之動粘滯性係數( Kinematic Coefficient of Viscosity )，約等於  $0.01141 \text{ cm}^2/\text{sec}$ 。

圖18 與圖19 為分別在不同情況下計算之結果，圖20 則表示一個較完全的預測。計算開始時，流動由靜止開始加速，湍渦因逆向壓力梯度效應而生成，而且緊鄰於柱體附近，隨著時間之增加，一個對稱湍渦在柱體後方形成。在未達半週期時，對稱湍渦完全成長成形，此時流動受減速影響，故而湍渦已漸有向柱體移動的趨勢，當半週期後，水粒子速度方向改變，如此使得湍渦逆向沖刷，最後趨於散亂，而整個流場之流動方向改變。值得注意的是，在半週期附近時，流速漸近於零，因此在柱體前方的流場速度非常小，我們由觀察得知，柱體後方的流場速度卻仍具有相當大的速度，這主要是受已形成湍渦的影響所致。

圖21 表示圓柱在湍渦成形時之表面壓力分佈，由圖中得知，柱後之表面壓力隨而呈均勻一致情形，此亦湍渦存在之結果，其形狀阻抗係數被表1 所示。

#### 四、結論與討論

本文以表面湍渦法分別對等速流經過不同形狀之陡峭物體加以計算，除模擬其分離流況外，計算所得之抗力係數值(  $C_D$  )與其他學者之實驗比較，大約僅有 10 % 至 20 % 的差異。另外對柱體受振動流影響時，經表面湍渦法之擴展運用，亦可得到相當的結果。

然而本法在應用上也有許多的困難，主要是：

- (1) 在自身影響下的移動湍渦趨勢於一個散亂分布，此與移動湍渦之數目及計算時間有關，乃是受數值誤差影響所致。
- (2) 非粘性流體不允許湍渦擴散或強度衰減，甚至破壞。
- (3) 在數值計算中尚無法模擬不對稱流情形。

(4) 計算的時間與容量。

除此之外，對於分離點之計算（此係對平滑表面而言）、雷諾數之考慮以及三度空間問題，更需要不同的理論與方法的使用，對於這些問題則有待更進一步的研究。

### 五、參考文獻

1. Rosenhead, L., "The Formation of Vortices from a Surface of Discontinuity," Proceeding of the Royal Society of London, Ser. A, Vol. 134, May 1931, pp. 170-192.
2. Sarpkaya, T., "An Analytical Study of Separated Flow about Circular Cylinders," Journal of Basic Engineering, Trans., A.S.M.E., Vol. 90, Dec. 1968, pp. 511-520.
3. Clements, R.R., "An Inviscid Model of Two-Dimensional Vortex Shedding," Journal of Fluid Mechanics, Vol. 57, 1973, pp. 321-336.
4. Sarpkaya, T., "An Inviscid Model of Two-Dimensional Vortex Shedding for Transient and Asymptotically Steady Separated Flow over an Inclined Plate," Journal of Fluid Mechanics, Vol. 68, 1975, pp. 109-128.
5. Lewis, R.I., "Surface Vorticity Modelling of Separated Flows from Two-Dimensional Bluff Bodies of Arbitrary Shape," Journal of Mechanical Engineering Science, Vol. 23, No. 1, Feb. 1981, pp. 1-12.
6. Martensen, E., "Die Berechnung der Druckverteilungen dicken Gitterprofilen mit Hilfe von Fredholmschen Integral Gleichungen," Zweiter Art. Arch. Ret. Mech. Anel., Vol. 3, 1959, pp. 235-237.
7. Sarpkaya, T., "Separated Flow about Lifting Bodies and Impulsive Flow about Cylinders," AIAA Journal, Vol. 4, March 1966, pp. 414-420.
8. Sarpkaya, T., "Forces on Cylinders and Spheres in a Sinusoidally Oscillating Fluid," Journal of Applied Mechanics, Trans. A.S.M.E., Vol. 42, March 1975, pp. 32-37.
9. 周宗仁、張家棟：「圓柱受波動影響引起後湍流之研究」，河海研究第16號，台灣海洋學院河海工程學系。
10. Momchilo M. Zdravkovich and John E. Namok, "Formation and Reversal of Vortices Around Circular Cylinders Subjected to Water Waves," Journal of the Waterways, Harbors and Coastal Engineering Division, ASCE, Vol. 103, NO. WW3, Aug. 1977, pp. 378-383.
11. Bidde, D.D., "Laboratory Study of Lift Forces on Circular piles," Journal of the Waterways, Harbors and Coastal Engineering Division, ASCE, Vol. 97, NO. WW4, Nov. 1971, pp. 595-614.
12. Goldstein S. "Modern Developments in Fluid Dynamics," Vol. I and Vol. II, Dover (New York, 1965).

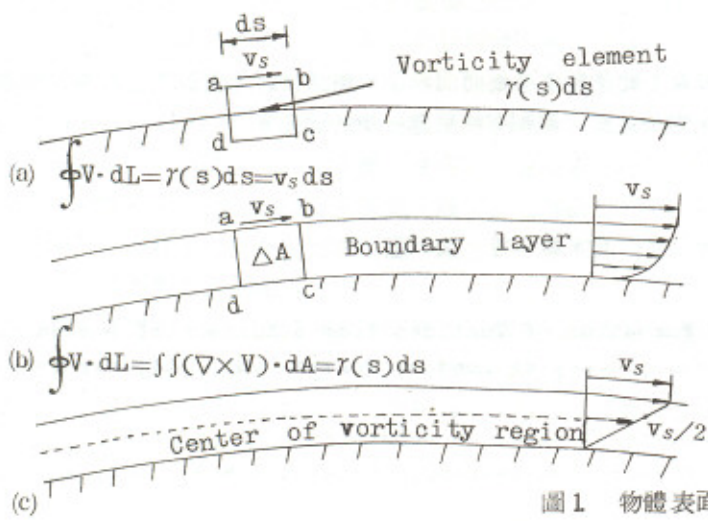


圖1 物體表面之表面漩渦模擬

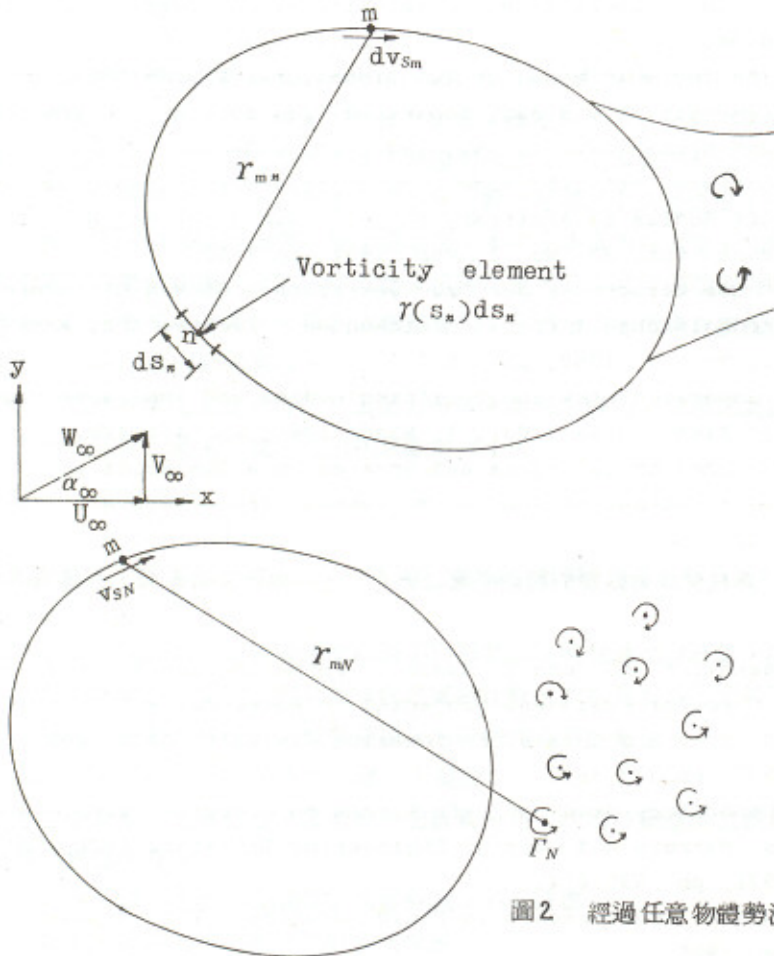


圖2 經過任意物體勢流之表面漩渦模擬

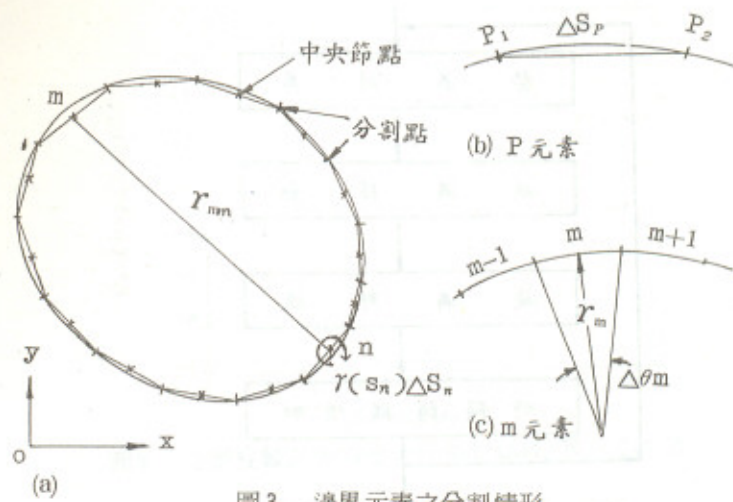


圖3 邊界元素之分割情形

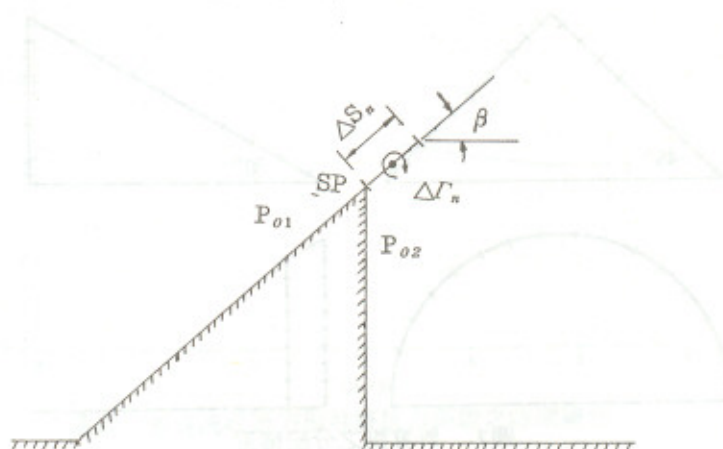


圖4 漩渦在銳緣處之移動

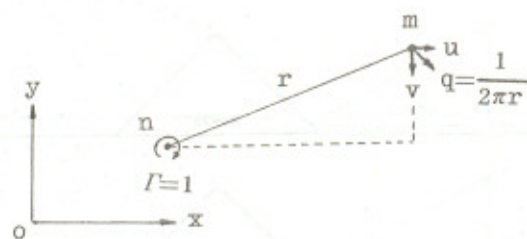


圖5 漩渦之對流

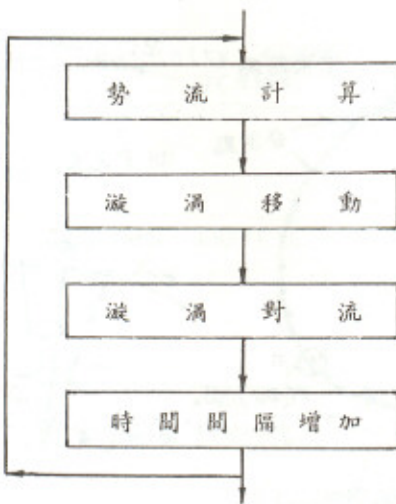


圖6. 表面漩渦法之數值運算過程

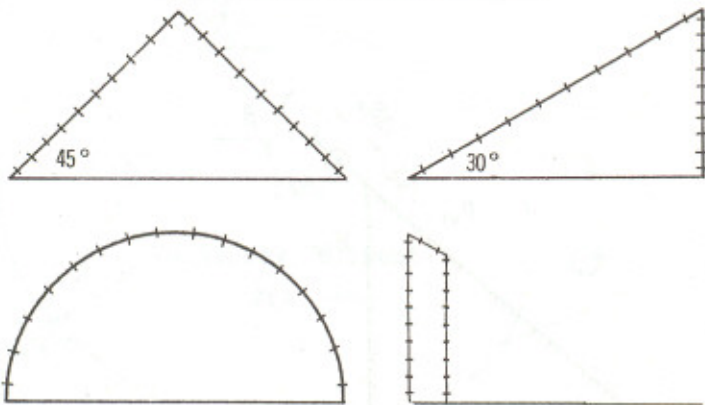


圖7. 計算點之分配情形

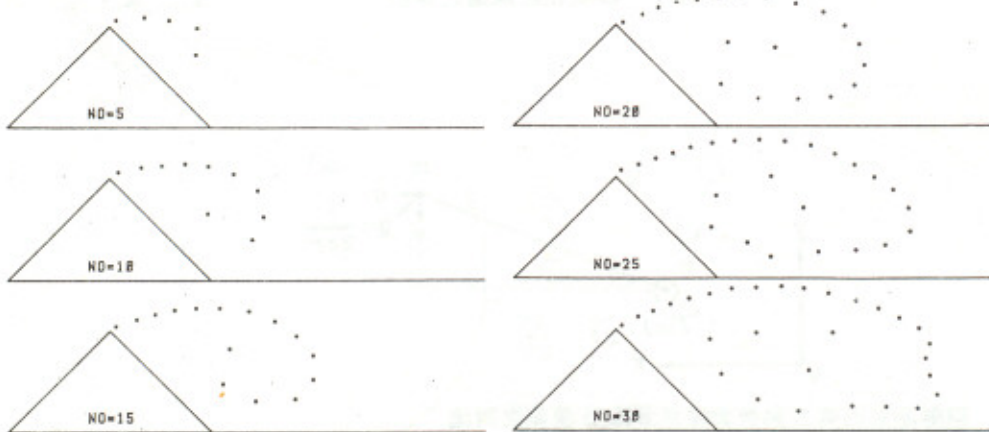


圖8. 等速流經過方形柱體之分離流況 ( $U\Delta t/R = 0.2$ )

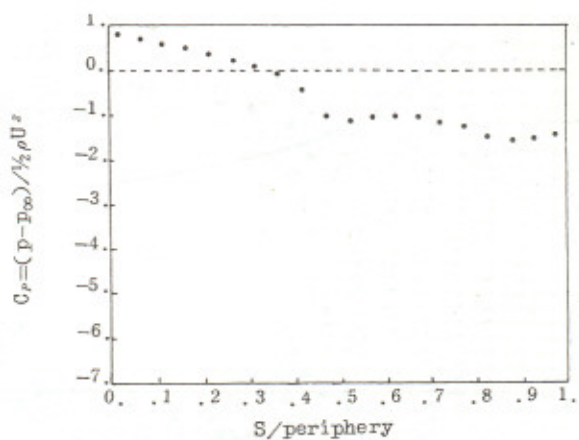


圖9. 方形柱體之表面壓力分佈 ( $U\Delta t/R = 0.2$ )

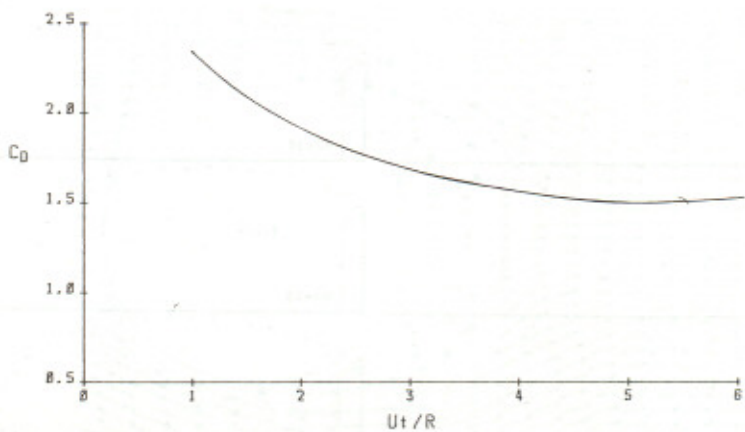


圖10. 等速流經過方形柱體抗力係數之時間變化

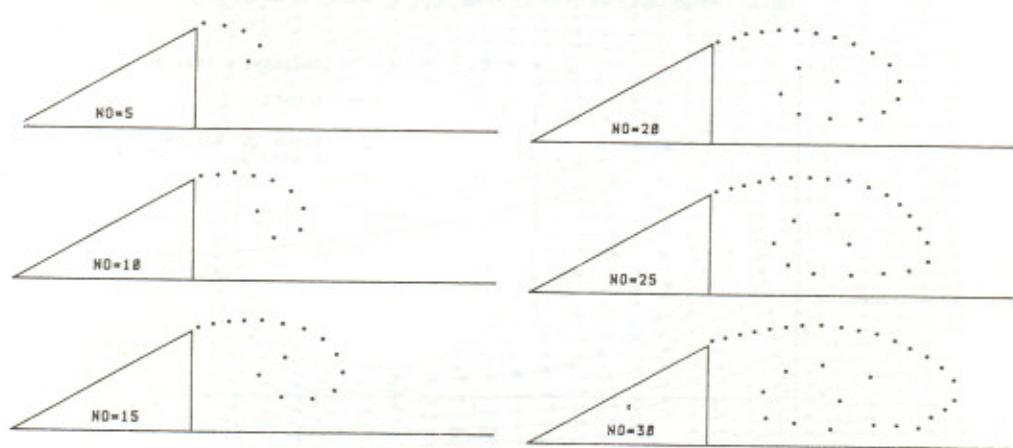


圖11. 等速流經過三角形柱體之分離流況 ( $U\Delta t/R = 0.15$ )

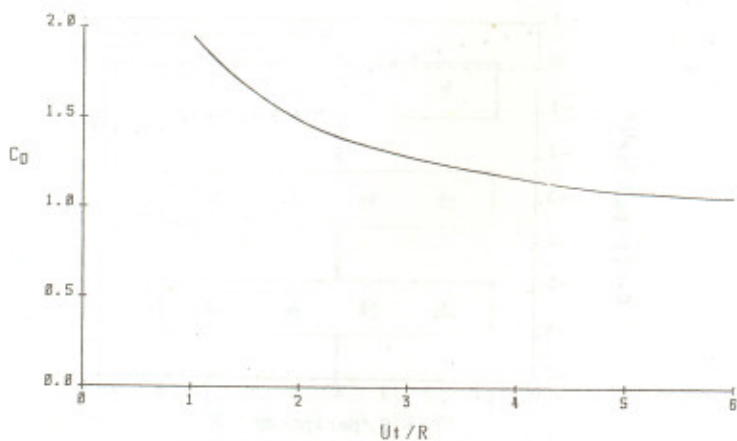


圖12. 等速流經過三角形柱體抗力係數之時間變化

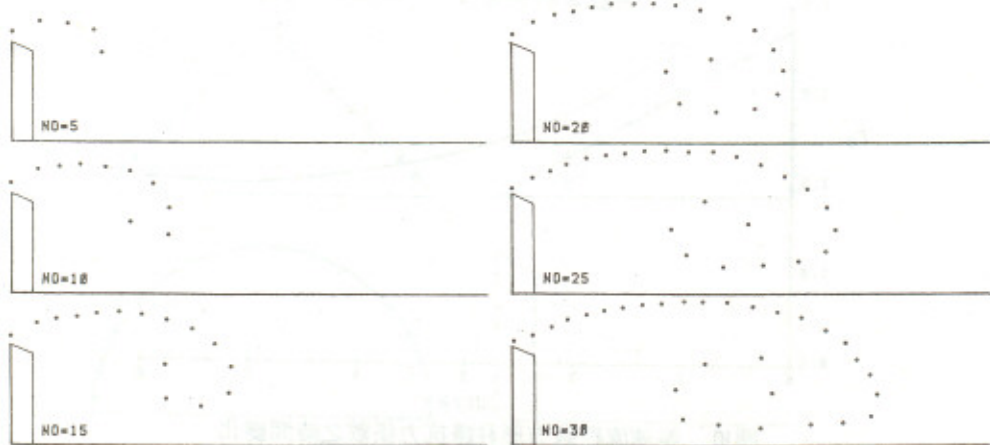


圖13. 等速流經過平板之分離流況 ( $U\Delta t / R = 0.2$ )

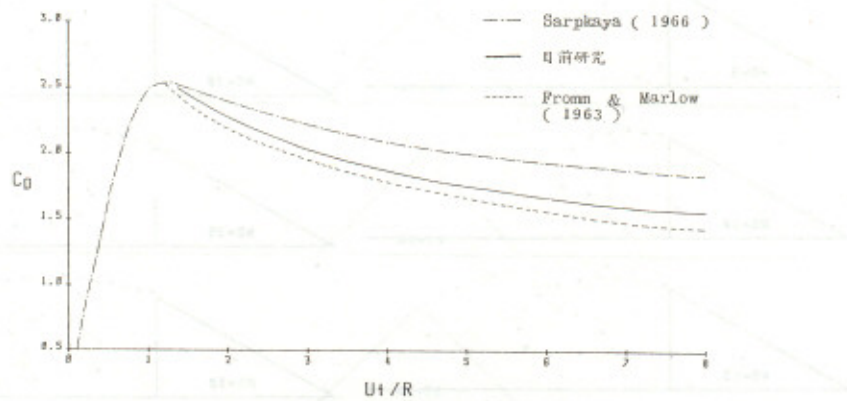
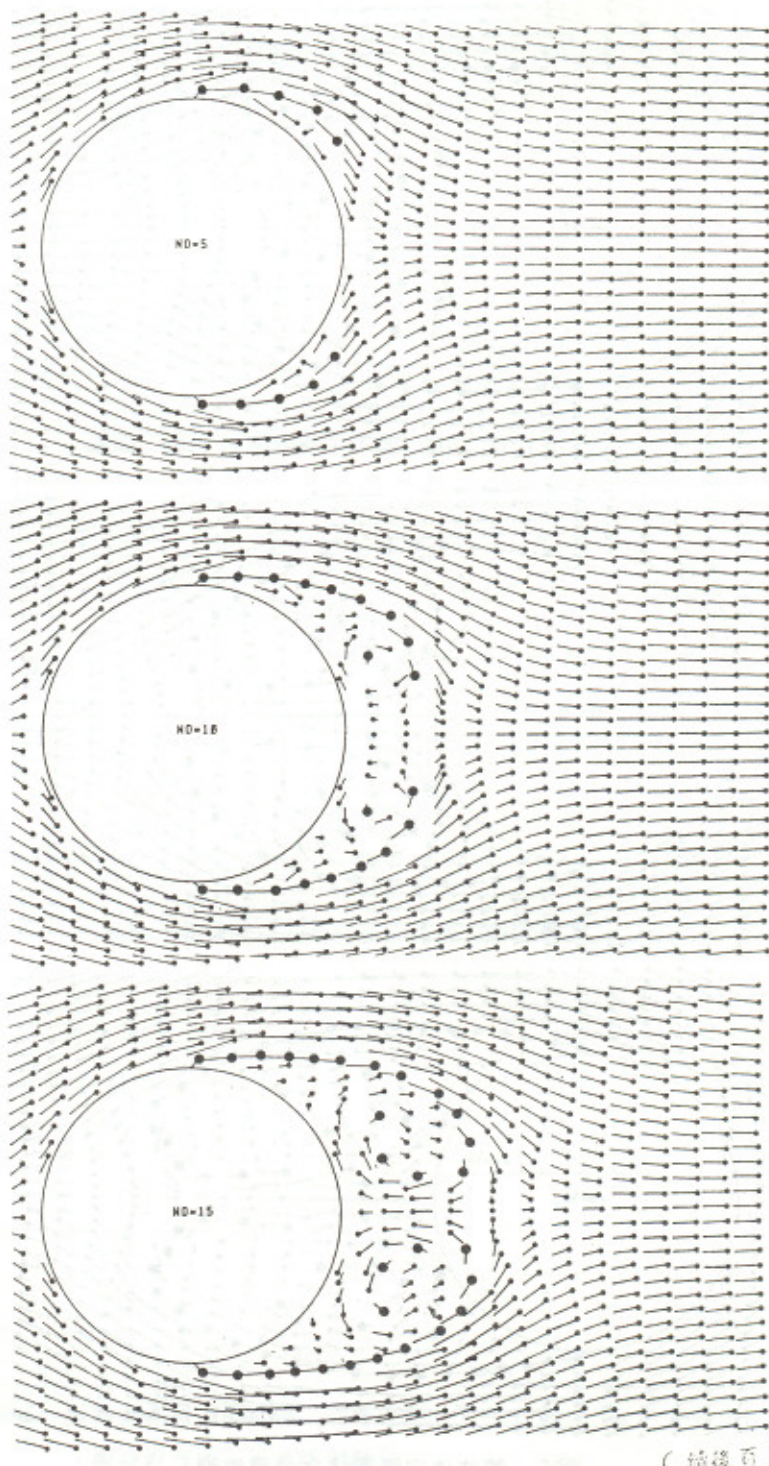


圖14. 等速流經過平板抗力係數之時間變化



(續後頁)

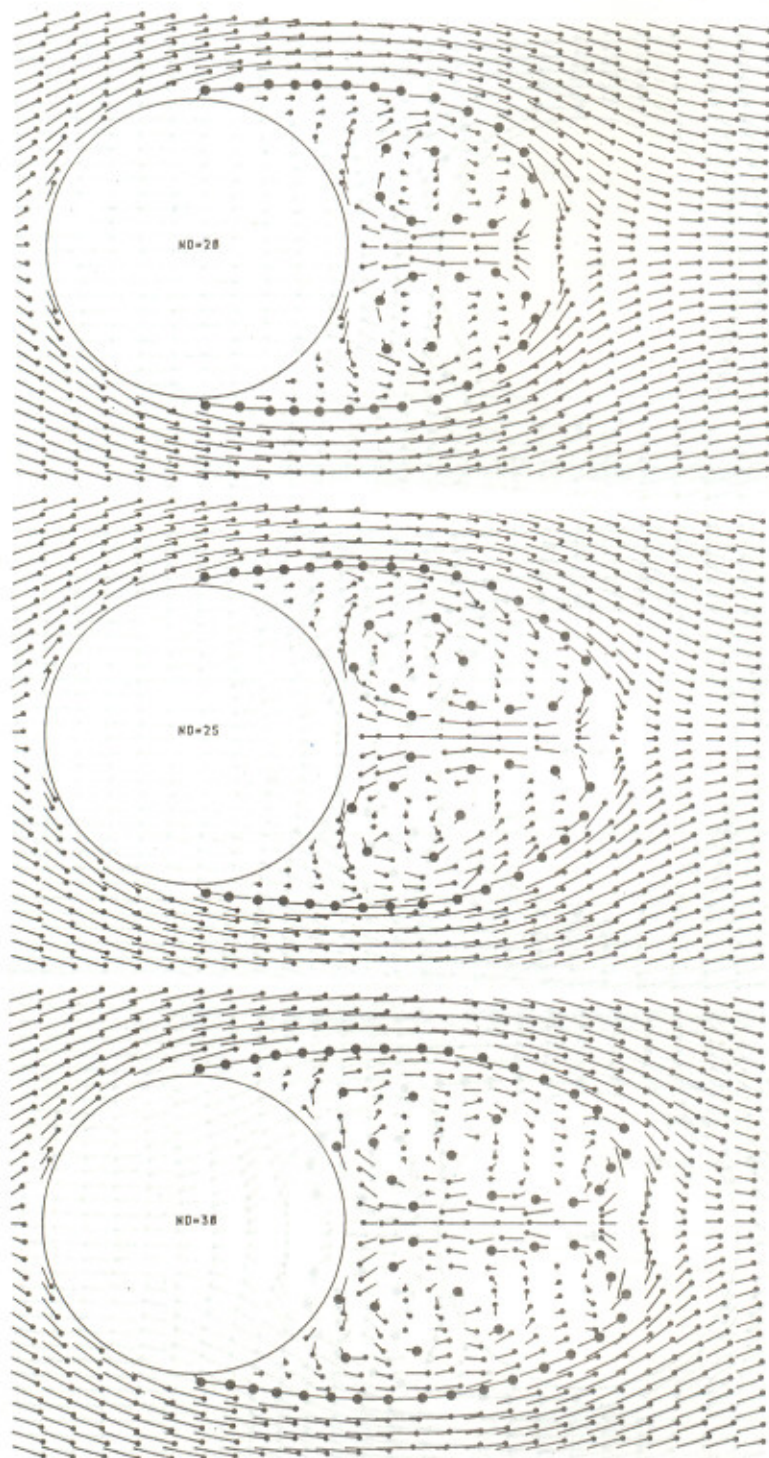


圖15. 等速流經過圓柱之分離流況

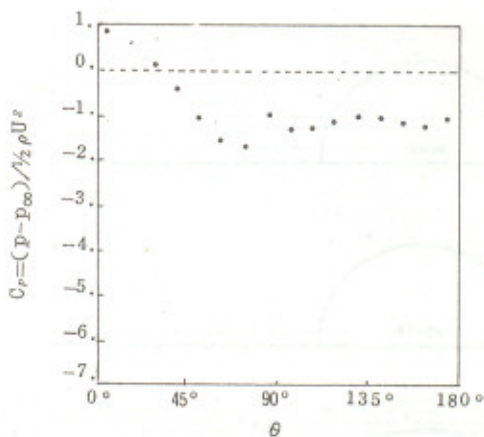


圖16. 圓柱之表面壓力分佈 ( $U\Delta t/R = 0.2$ )

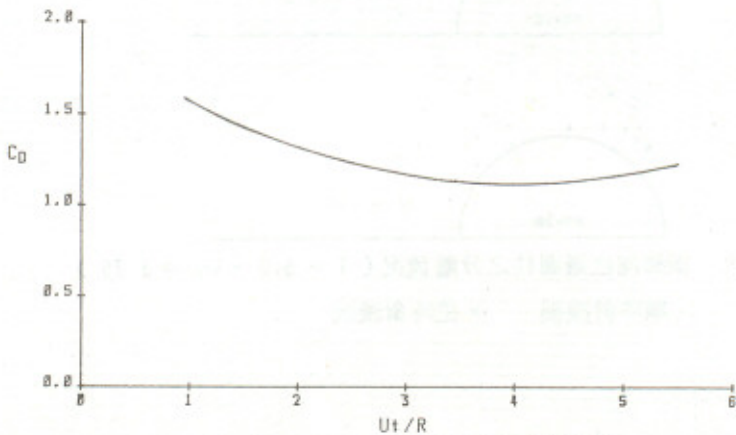


圖17. 等速流經過圓柱抗力係數之時間變化

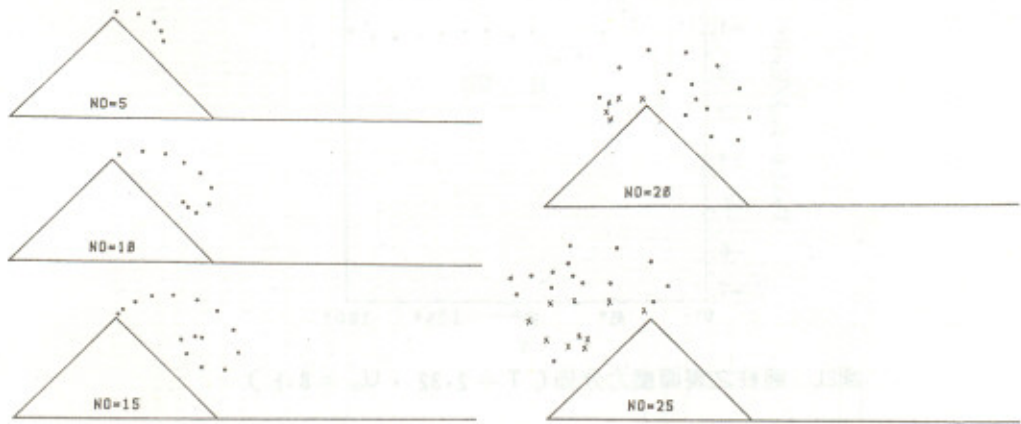


圖18. 振動流經過方形柱體之分離流況 ( $T = 2.84$ ,  $U_m = 3.2$ )

• 順時針旋渦 × 逆時針旋渦

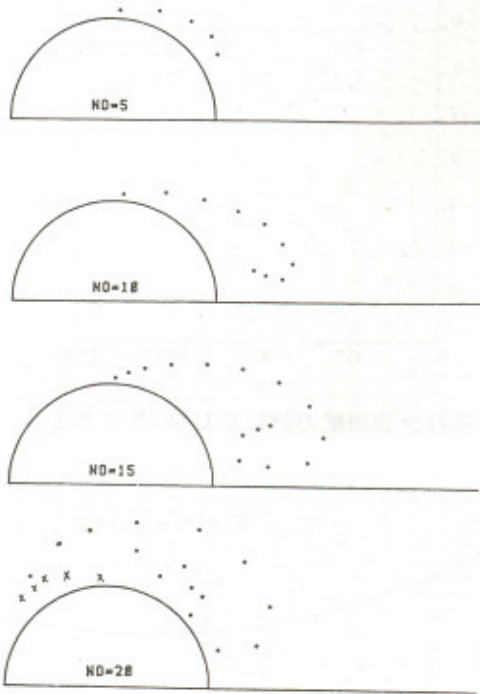


圖19. 振動流經過圓柱之分離流況 ( $T = 5.0$ ,  $U_m = 3.75$ )  
 • 順時針漩渦      × 逆時針漩渦

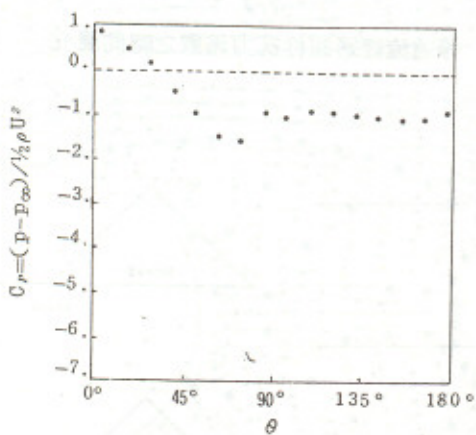
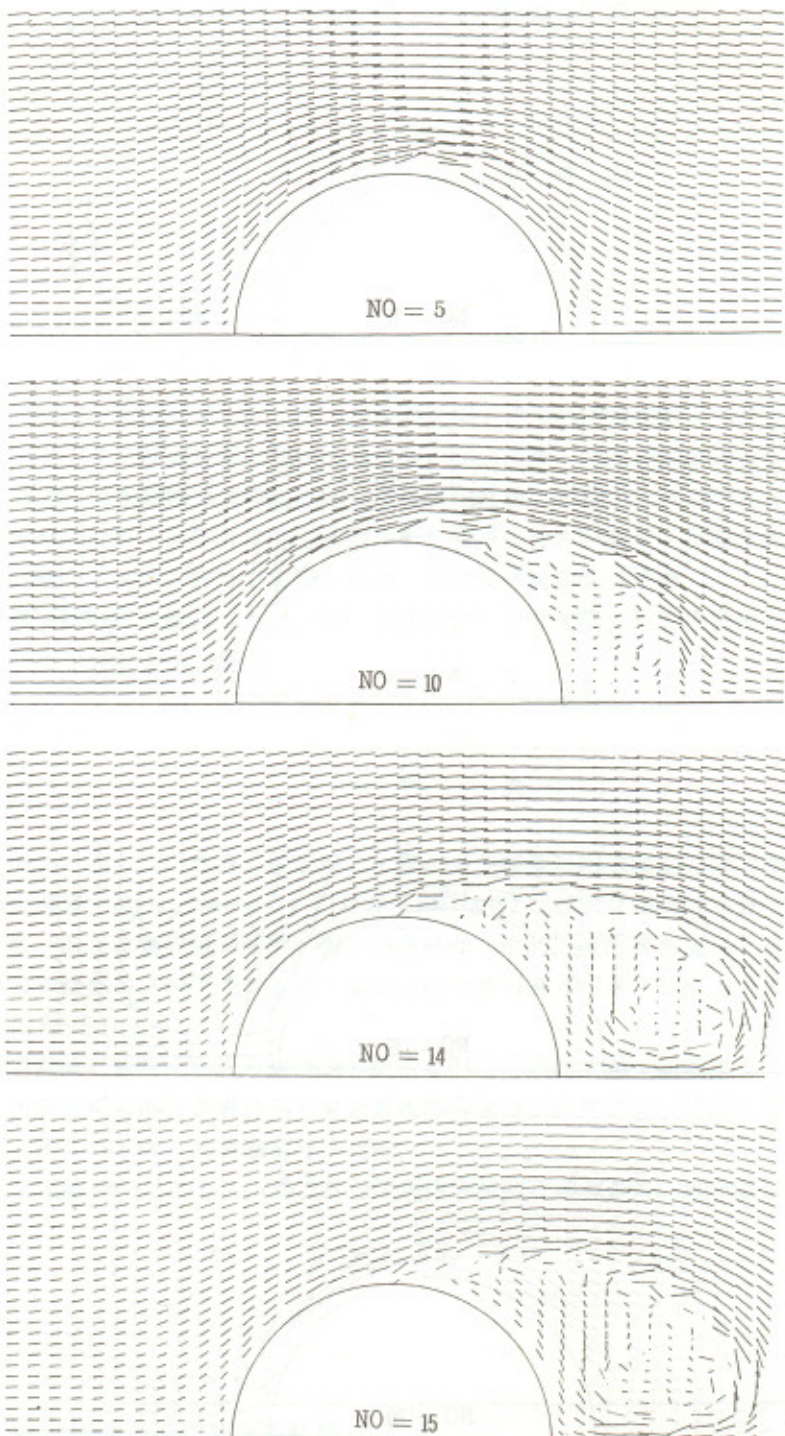


圖21. 圓柱之表面壓力分佈 ( $T = 2.32$ ,  $U_m = 8.1$ )



( 論後頁 )

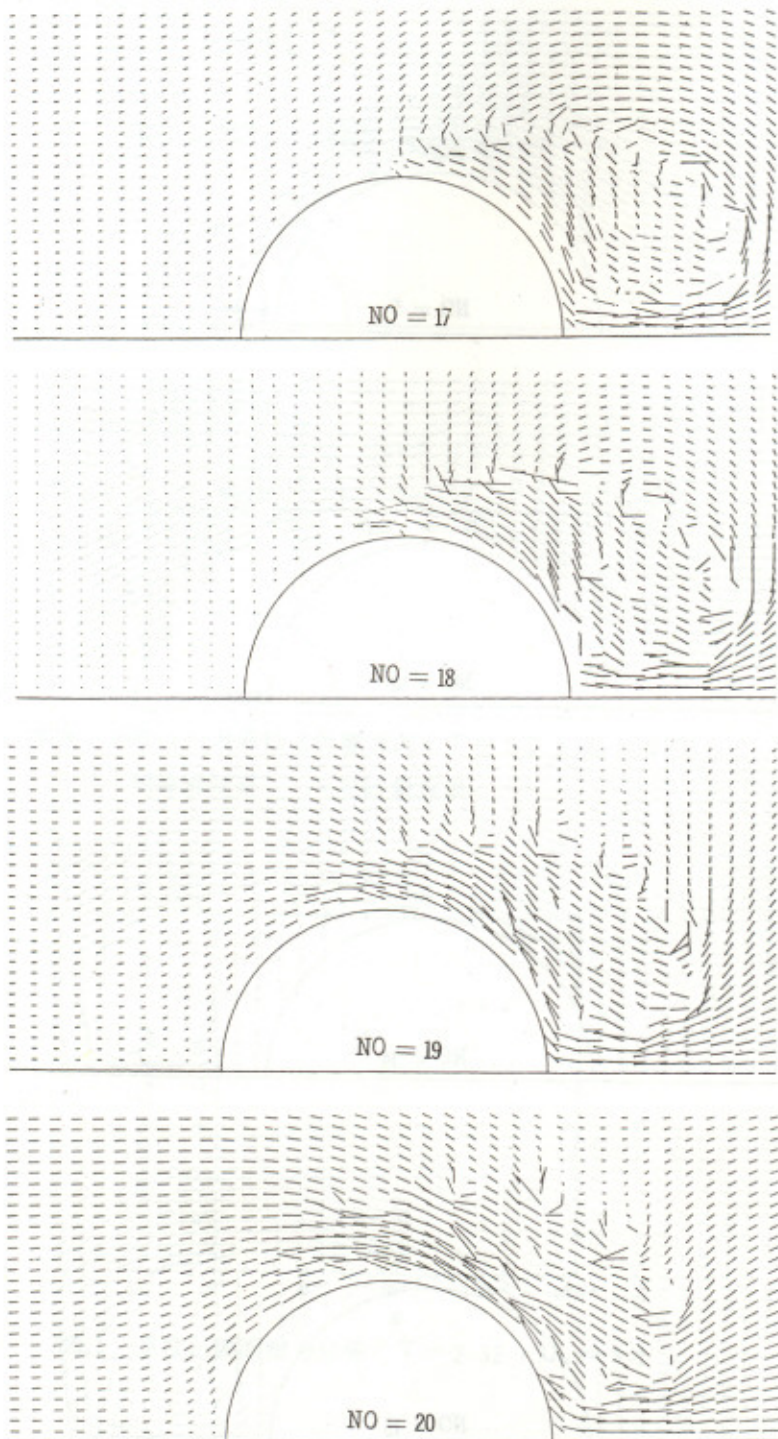


圖20. 振動流經過圓柱之分離流況 ( $T = 2.32$ ,  $U_m = 8.1$ )